平面三次系统的一类极限环分布

李继彬(昆明工学院数学教研室)

摘要

本文得到以下结果:

- 1. 举出一个数值系数方程的例子,证明平面三次系统存在结构为(1)+(1)+(1) $\supset ((1)+(1))$ 的极限环分布(见图 1)
- 2. 对形如(1,1')与(1,2')的非线性振动系统,得到当条件 xg(x) > 0 不满足时,存在包围多个奇点的极限环的若干充分条件.

对于右端不含二次项的平面三次微分系统

$$\frac{dx}{dt} = y + \lambda x + \sum_{i+j=3} a_{ij} x^i y^j,$$

$$\frac{dy}{dt} = -x - \lambda y + \sum_{i+j=3} b_{ij} x^i y^j,$$

$$(E_3^{(3)})$$

1965 年,Сабирский 用 Баутин 的方法证明了系统 ($E_3^{(3)}$) 在原点小邻域内可能出现 5 个极限环。1975 年,应用秦元勋与蒲富全^[2]的方法,史松龄 ^[3]给出了一个具体的例子,使文献 [1] 的断言得到实现。本文利用可积系统的闭轨线作地形系的 Poincáre 方法,讨论属于($E_3^{(3)}$)的一个数值系数方程:

$$\frac{dx}{dt} = y - \varepsilon y^3 = P(x, y),$$

$$\frac{dy}{dt} = x + \alpha y - x^3 - x^2 y = Q(x, y),$$
(E)_a

其中 ε = 10^{-16} , α = $1 - \lambda$, $0 < \lambda < 10^{-95}$.

一、几个存在性定理

对于二阶非线性振动方程

$$\ddot{x} + f(x, \dot{x})\dot{x} + g(x) = 0 \tag{1.1'}$$

与

$$\ddot{x} + f(x)\dot{x} + g(x) = 0, \tag{1.2'}$$

当 xg(x) > 0 时,其极限环存在性已有许多文献论述[4-6],但若上述条件不满足,相平面上原

本文 1982 年 9 月 28 日收到, 1983 年 8 月 22 日收到修改稿。

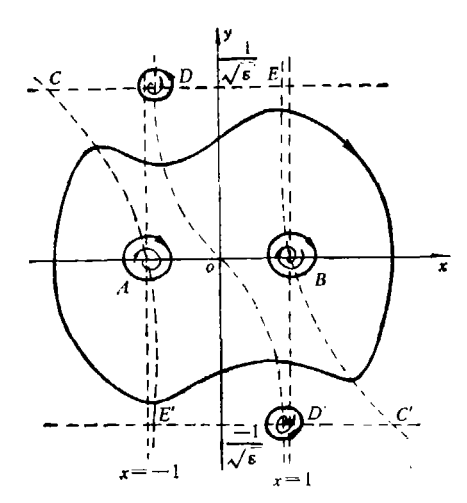


图 1 (1)+(1)+(1) コ((1)+(1)) 结构示意图

点是鞍点时,结果尚不多见. 考虑到理论研究及应用方面的需要,本节作一些初步讨论. 方程(1.1')与(1.2')等价于方程组

$$\frac{dx}{dt} = y, \qquad \frac{dy}{dt} = -g(x) - f(x, y)y, \tag{1.1}$$

与

$$\frac{dx}{dt} = y, \qquad \frac{dy}{dt} = -g(x) - f(x)y. \tag{1.2}$$

设函数 g(x), f(x), f(x,y) 关于变元连续,满足初值问题解的唯一性条件,以下不再重述. 对函数 g(x) 假设

(I) g(x) 恰有三个零点, $x = -\xi_1$, 0, ξ_2 , $-\xi_1 < 0 < \xi_2$, 且 g'(0) < 0, $g'(-\xi_1) > 0$, $g'(\xi_2) > 0$,

$$xg(x)$$
 $\begin{cases} < 0, & \exists x \neq 0, -\xi_1 < x < \xi_2, \\ > 0, & \exists -\infty < x < -\xi_2, \xi_2 < x < +\infty. \end{cases}$

 $\stackrel{\cdot}{\text{ll}} G(x) = \int_0^x g(\tau)d\tau$,假设 $G(\pm \infty) = + \infty$.

当条件(I)满足时,在相平面上,保守系统

$$\ddot{x} + g(x) = 0$$
 (或等价方程组 $\frac{dx}{dt} = y$, $\frac{dy}{dt} = -g(x)$), (1.3)

以点 $A(-\xi_1,0)$, $B(\xi_2,0)$ 为中心,原点 o(0,0) 为鞍点. 系统 (1.3) 有初积分

$$\lambda(x, y) = \frac{1}{2}y^2 + G(x) = C. \tag{1.4}$$

当 $0 < C < + \infty$ 时,(1.4) 式是包围奇点 A, o, B 的闭积分曲线族,当 C = 0 时,(1.4) 式是在原点 o 相互毗连并分别包围着奇点 A 与 B 的" ∞ " 形鞍点分界线环,当 C < 0 时,(1.4) 式或是分别包围 A 与 B 的两支闭曲线族,或是虚迹曲线.

为简单起见,用 C_K 表示包围K个奇点的极限环。 取 (1.4) 式作为地形曲线,用 Poincaré-Bendixson 环域定理可以证明

定理 1. 若方程组 (1.1) 中函数 g(x) 满足条件 (1), 并设

 (II_1) f(x,y)=0 的图形为包含原点于其内的闭 Jordan 曲线,在该闭曲线内部与外部, f(x,y) 异号.

(III、) 联立方程组

$$\begin{cases} f(x,y) = 0, \\ \frac{1}{2}y^2 + G(x) = 0 \end{cases}$$
 (1.5)

无实交点;则方程组(1.1)至少存在一个 C_{∞}

以下讨论方程组 (1.2). 作 Liénard 变换 $y_1 = y + F(x)$, x = x, 其中

$$F(x) = \int_{0}^{x} f(\tau) d\tau,$$

方程组(1.2)等价于方程组

$$\frac{dx}{dt} = y - F(x), \qquad \frac{dy}{dt} = -g(x). \tag{1.6}$$

经过变换,方程组 (1.2) 的奇点 $A(-\xi_1,0)$, $B(\xi_2,0)$, o(0,0) 变为 Liénard 平面上的奇点 $A'(-\xi_1,F(-\xi_1))$, $B'(\xi_2,F(\xi_2))$ 与o'(0,0). 在 Liénard 平面上考察曲线 (1.4) 式,设 $\lambda(x,y)=0$ 与正 x 轴交于点 $(x_1,0)$, 与负 x 轴交于点 $(x_2,0)$. 取闭曲线族

$$\mu(x, y) = \frac{1}{2} (y - F(x))^2 + G(x) = C$$
 (1.7)

作地形曲线,可得

引理 1. 设方程组 (1.6) 中 g(x) 满足条件 (1), 并且不满足

 $(\widetilde{\Pi}_2)$ 当 $x \in (x_2 - \varepsilon, x_1 + \varepsilon)$, $\varepsilon > 0$ 时, f(x) < 0. 则存在包含原点 o' 与奇点 A', B' 干其内部的闭曲线 L_1 , 使得方程组 (1.6) 的一切轨线与 L_1 相交者,都从内部穿到外部.

取引理 1 中的 L_1 作 Poincaré-Bendixson 环域的内境界线。用文献 [7] 的方法构造环域的外境界线,可以得到便于估计极限环位置的较弱的存在定理.

设函数 F(x) 满足条件

(II,) 条件(II,) 成立, 且存在数

$$-m_1 < -n_1 < x_2 < -\xi_1 < 0 < \xi_2 < x_1 < n_2 < m_2,$$

$$\Delta = \max_{x \in [-n_1, n_2]} |F(x)|,$$

使得

$$F(-n_1) = F(0) = F(n_2) = 0,$$

 $F(x) \ge -\Delta, \ \ \ \, \le (0, n_2); \ F(x) > 0, \ \ \ \, \le x \in (n_2, m_2),$
 $F(x) \le \Delta, \ \ \, \le x \in (-n_1, 0); \ F(x) < 0, \ \ \, \le x \in (-m_1, -n_1).$

引入可依次计算的常数记号

$$l_{m} = \min [G(-m_{1}), G(m_{2})], \quad l_{n}^{*} = \max [G(-n_{1}), G(n_{2})],$$

$$l_{n} = \min [G(-n_{1}), G(n_{1})],$$

$$\sigma_{mn} = \max [G(-m_{1}) - G(-n_{1}), G(m_{2}) - G(n_{2})],$$

$$l_{\xi}^{*} = \max [|G(-\xi_{1})|, |G(\xi_{2})|],$$

$$l_{\xi} = \min \left[|G(-\xi_{1})|, |G(\xi_{2})| \right],$$

$$A = \left[(\sqrt{2\sigma_{mn}} - \Delta)^{2} + 2l_{n} \right]^{\frac{1}{2}},$$

$$B_{n} = \left[(\Delta + \sqrt{2(l_{n}^{*} + l_{\xi}^{*})})^{2} - 2l_{\xi} \right]^{\frac{1}{2}},$$

$$\tilde{B} = \left[(\Delta + \sqrt{A^{2} + 2l_{\xi}^{*}})^{2} - 2l_{\xi} \right]^{\frac{1}{2}},$$

$$D_{n} = \left[(\Delta + \sqrt{B_{n}^{2} - 2l_{\xi}^{*}})^{2} - 2l_{\xi} \right]^{\frac{1}{2}},$$

$$\tilde{D} = \left[(\Delta + \sqrt{B_{n}^{2} - 2l_{\xi}^{*}})^{2} - 2l_{\xi} \right]^{\frac{1}{2}},$$

$$H_{n} = (D_{n}^{2} - 2l_{m})^{\frac{1}{2}},$$

$$\tilde{H} = (\tilde{D}^{2} - 2l_{m})^{\frac{1}{2}},$$

定理 2. 若方程组 (1.6) 的右端函数满足条件 (I), (II,), 并且满足

(III₂) 当 $\sqrt{2\sigma_{mn}} \leqslant \Delta$ 时, $F(m_2) \geqslant -\Delta + H_n > 0$, $F(-m_1) \leqslant \Delta - H_n < 0$; 或满足

 $(\widetilde{\Pi}_{2})$ 当 $\sqrt{2\sigma_{mn}} \geqslant \Delta$ 时, $F(m_{2}) \geqslant -\Delta + \widetilde{H} > 0$, $F(-m_{1}) \leqslant \Delta - \widetilde{H} < 0$. 则方程组 (1.6) 在矩形域: $-m_{1} < x < m_{2}$, $|y| < (B_{*}^{2} + 2l_{*}^{*})^{\frac{1}{2}}$ 内存在 C_{3} ,其中 B_{*} 等于 B_{n} 或 \widetilde{B} 视方程组 (1.6) 满足条件 (III₂) 还是 ($\widetilde{\Pi}_{2}$) 而定.

若记

$$l_{m}^{*} = \max \left[G(-m_{1}), G(m_{2}) \right], \qquad B_{m} = \left[(\Delta + \sqrt{2(l_{m}^{*} + l_{\xi}^{*})})^{2} - 2l_{\xi} \right]^{\frac{1}{2}},$$

$$D_{m} = \left[(\Delta + \sqrt{B_{m}^{2} + 2l_{\xi}^{*}})^{2} - 2l_{\xi} \right]^{\frac{1}{2}}, \qquad H_{m} = (D_{m}^{2} - 2l_{m})^{\frac{1}{2}},$$

可得条件稍强,但计算较简单的下述结论:

定理 3. 设方程组 (1.6) 中右端函数满足条件 (I), ($\widetilde{\Pi}_2$), 并满足 (III₃): 存在数 $-m_1 < x_2 < -\xi_1 < 0 < \xi_2 < x_1 < m_2$, $\Delta > 0$, 使得

$$F(x) \geqslant -\Delta$$
, $\stackrel{\cdot}{\sqcup} x \in (0, m_0)$, $\stackrel{\cdot}{\sqcap} F(m_2) \geqslant -\Delta + H_m > 0$, $F(x) \leqslant \Delta$, $\stackrel{\cdot}{\sqcup} x \in (-m_1, 0)$, $\stackrel{\cdot}{\sqcap} F(-m_1) \leqslant \Delta - H_m < 0$,

则方程组 (1.6) 在带域 $-m_1 < x < m_2$ 中存在 C_{3} .

据引理 1, 仿丁大正一文"证明方法,可得

定理 4. 设方程组 (1.6) 的右端函数满足条件 (I), $(\widetilde{\mathbb{H}}_2)$, 并设 F(x) 还满足 Драгилёв 定理 (见文献 15, p.91]) 的条件,即

(III.) 存在常数 M>0, K>K' 使 $F(x)\geqslant K$, 当 x>M; $F(x)\leqslant K'$, 当 x<-M,

则方程组(1.6)至少存在一个 C_{i}

文献 [8] 给出 Liénard 方程的一个较弱的存在定理,在构造环域外境界线时,只用到 $\frac{f(x)}{g(x)}$ 与 F(x) 等函数的极限性质,故该定理可推广为

定理 5. 设方程组 (1.6) 满足条件 (1), (11₂). 并满足

¹⁾ 丁大正的 "Liénard 方程极限环的存在性"—文,见北京大学 1981 年大连全国微分方程定性理论会议交流资料。

(III₅)
$$\lim_{x \to +\infty} \frac{f(x)}{g(x)} = +\infty$$

 (IV_5) $\lim_{x\to-\infty} F(x) = +\infty$, 同时有 $\lim_{x\to-\infty} g(x)/F(x) = m < 0$ (m) 为有限或 $-\infty$), $\lim_{x\to-\infty} g(x)/F(x)f(x) = l > 1$ (l) 为有限数或 $+\infty$), 则方程组 (1.6) 存在 C_3 .

二、 $(E)_{\alpha}$ 的极限环分布

方程组 $(E)_{\alpha}$ 有九个有限远奇点,奇点 o(0,0),A(-1,0),B(1,0) 固定;奇点 $C(-\xi_s)$, $\frac{1}{\sqrt{\varepsilon}}$, $D\left(-\xi_s,\frac{1}{\sqrt{\varepsilon}}\right)$, $E\left(\xi_s,\frac{1}{\sqrt{\varepsilon}}\right)$ 及它们关于原点的对称点 C',D',E' 随 α 的改变,在直线 $y=\pm\frac{1}{\sqrt{\varepsilon}}$ 上移动。其中 $-\xi_s$, $-\xi_s$, ξ_s 是三次代数方程

$$\sqrt{\varepsilon} x^3 + x^2 - \sqrt{\varepsilon} x - \alpha = 0 \qquad (\alpha > 0)$$
 (2.1)

的实根. $(E)_{\alpha}$ 的水平与垂直等倾线如图 2 所示, 当参数 α 通过 1 而改变时, 水平等倾线产生

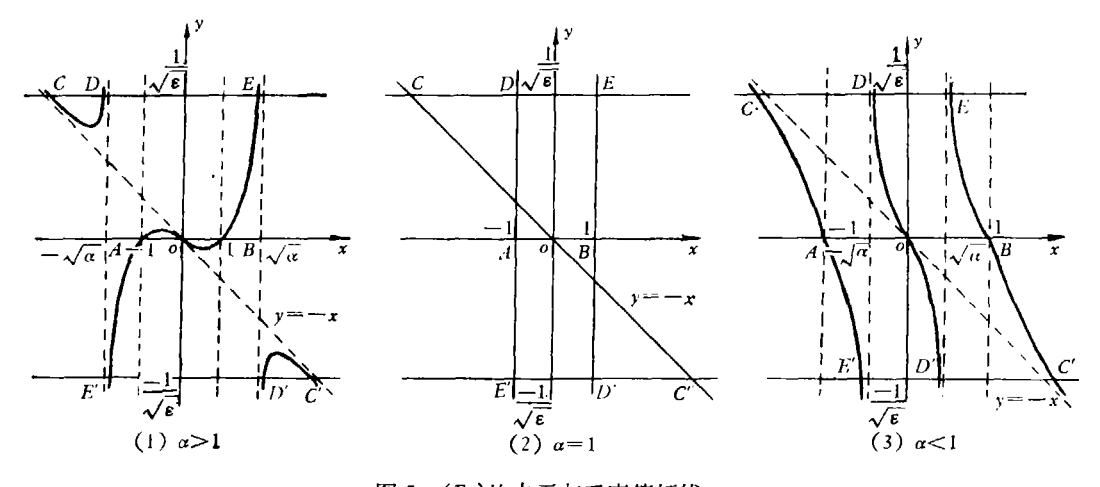


图 2 (Ea)的水平与垂直等倾线

突变.通过指标计算可知,A,B,D与D'是指标等于 +1的奇点,其余奇点是鞍点.此外,(E)。有无穷远奇点 $(1,-u_1,0)$ 与 $(1,-u_2,0)$, $-u_1 < -u_2 < -1$,前者是不稳定结点,后者是鞍点,其中 $(-u_1)$ 与 $(-u_2)$ 是四次代数方程

$$\varepsilon u^4 + u + 1 = 0$$

的两个实根.

先设 $\varepsilon = 0$, 此时 $(E)_{\alpha}$ 等价于 Lienard 方程组

$$\frac{dx}{dt} = y - \left(\frac{1}{3}x^3 - \alpha x\right), \qquad \frac{dy}{dt} = -(x^3 - x). \tag{2.2}$$

对应于系统 (1.3) 中的 $g(x) = x^3 - x$, (1.4) 式化为

若 C=0 时, 当 $x_{1,2}=\mp\sqrt{2}$ 时曲线 (2.3) 与 x 轴相交.

引**理 2.** 设 $\alpha = 2.5$,则 $(E)_{\alpha}$ 至少存在一个包围 A, α 与 B 的内稳定 C_{3} 。证. 由方程组 (2.2),

$$G(x) = \frac{1}{4}x^4 - \frac{1}{2}x^2, \qquad F(x) = \frac{1}{3}x^3 - \alpha x,$$

当 $\alpha = 2.5$ 时,定理 2 的条件 (I), (II₂) 成立, 其中 $n_1 = n_2 \approx 2.7386$, $\Delta \approx 2.6352$, $\xi_1 = \xi_2 = 1$. 粗略地取 $m_1 = m_2 = 4$, 容易算出定理 2 中各常数:

$$l_m = l_n = 56$$
, $\sqrt{2\sigma_{mn}} = 9.5590$, $l_{\xi}^* = l_{\xi} = |G(1)| = \frac{1}{4}$, $A = 8.28$, $\widetilde{B} = 10.9228$, $\widetilde{D} = 13.5625$, $\widetilde{H} = 8.4818$, $\widetilde{B}^2 - 2l_{\xi}^* = 10.9457$, $F(-m_1) = F(m_2) = F(4) = 11.3333$, $-\Delta + \widetilde{H} = 5.8456$.

显然定理 2 的条件 ($\widetilde{\text{III}}_2$) 成立,在 Liénard 平面上的矩形: -4 < x < 4, |y| < 10.9457 内存在 C_3 , 且 C_3 内稳定. 回到 $\varepsilon = 0$ 时的方程 (E)_a, 在矩形 R: -4 < x < 4, |y| < 13.5809 之内存在内稳定 C_3 . 当 $\varepsilon = 10^{-16}$ 时,易证 (E)_a 的方向场仍然横截于 $\varepsilon = 0$ 时所构造的 Poincaré-Bendixson 环域的内外边界线,故对于 (E)_a,引理 2 的结论成立.

容易验证,在带域 $|y| < \frac{1}{\sqrt{\varepsilon}}$ 内, $(E)_{\alpha}$ 所定义的向量场随参数 α 减少沿顺时针方向旋转,因此,当 α 从 2.5 减少时, C_3 单调地收缩.

引理 3. 当 $2.5 \ge \alpha \ge 1$ 时,对于系统 $(E)_{\alpha}$,不存在分别围绕奇点 A = B 的极限环和 鞍点分界线环。

证. 因 $(E)_{\alpha}$ 的方向场关于原点。对称,只需对奇点 B 证明本引理。 设 $\alpha=1$,在右半相平面内, $(E)_{\alpha=1}$ 的过鞍点。的 α -分界线和 ω -分界线分别在原点与直线 $y=\left(\frac{\sqrt{5}+1}{2}\right)x$ 及 $y=-\left(\frac{\sqrt{5}-1}{3}\right)x$ 相切,由图2的 (2) 易见,右半平面内两分界线位于区域

S:
$$x > 0$$
, $x + y > 0$, $-\left(\frac{\sqrt{5} - 1}{2}\right) < y < \frac{\sqrt{5} + 1}{2}$

之内. 取 Dulac 函数 $B(x,y) = \frac{x}{x+y}$, 则对于 $(E)_{n=1}$, 当 $(x,y) \in S$ 时,

$$\frac{\partial}{\partial x} (BP) + \frac{\partial}{\partial y} (BQ) = \frac{y^2 (1 - \varepsilon y^2)}{(x + y)^2} \ge 0,$$

故在 S 内, $(E)_{\alpha=1}$ 不可能存在闭轨线与鞍点分界线环。当 $\alpha>1$ 时,引理 3 的结论由旋转向量场理论可以推出。

用经典的 Poincaré-Liapunov 程序可得

引理 4. 对于微分方程组

$$\frac{dx}{dt} = -ny + b_3 y^2 + b_7 y^3,$$

$$\frac{dy}{dt} = mx + a_1 x^2 + a_2 x y + a_4 x^3 + a_5 x^2 y.$$
(2.4)

取函数: $F(x, y) = F_2(x, y) + F_3(x, y) + F_4(x, y)$,

$$F_2(x, y) = \frac{1}{2} (mx^2 + ny^2),$$

$$F_3(x, y) = \frac{1}{3} a_1 x^3 - \frac{mb_3 + a_2 n}{3m} y^3,$$

$$F_4(x, y) = \frac{a_4}{4} x^4 - \frac{A}{8n} x^3 y + \frac{A}{8m} x y^3 + \frac{B}{4m^2} y^4,$$

则有

$$\frac{dF}{dt}\Big|_{(2.4)} = -g_1(x^2 + y^2)^2 + \text{H. o. t,}$$
 (2.5)

其中 m > 0, n > 0, $A = \frac{n}{m}(a_1a_2 - a_5)$, $B = (a_2n + mb_3) - m^2b_7$, $g_1 = \frac{A}{8mn}$, H. o.t 表示多项式含 x, y 高于四次的项,故当 $g_1 > 0(g_1 < 0)$ 时,方程组 (2.4) 的原点是中心型稳定 (不稳定)焦点.

兹考察包围奇点 A, B 与 D, D' 的极限环的存在性. 为此将原点移到· B(1,0)。 记 $\lambda = 1 - \alpha$,并令 $\tau = -t$,得方程组

$$\frac{dx}{d\tau} = -y + \varepsilon y^3,$$

$$\frac{dy}{d\tau} = 2x + \lambda y + 3x^2 + 2xy + x^3 + x^2 y.$$
(2.6)

同样,将原点移到方程 $(E)_{\alpha=1}$ 的奇点 $D\left(-1,\frac{1}{\sqrt{\epsilon}}\right)$,方程 $(E)_{\alpha}$ 化为

$$\frac{dx}{dt} = -2y - 3\sqrt{\varepsilon}y^2 - \varepsilon y^3,$$

$$\frac{dy}{dt} = 2\left(\frac{1}{\sqrt{\varepsilon}} - 1\right) - \lambda y - \left(\frac{1}{\sqrt{\varepsilon}} - 3\right)x^2 + 2xy - x^3 - x^2y - \frac{\lambda}{\sqrt{\varepsilon}}.$$
(2.7)_{\lambda}

对于方程组 $(2.6)_{i=0}$, 引理 4 中给出的函数 $F_i(i=2,3,4)$ 及 g_i 为

$$F_{2} = \frac{1}{2}(2x^{2} + y^{2}), \qquad F_{3} = x^{3} - \frac{1}{3}y^{3},$$

$$F_{4} = \frac{1}{4}x^{4} - \frac{1}{4}x^{3}y + \frac{1}{8}xy^{3} + \frac{1}{8}(1 - 2\varepsilon)y^{4},$$

$$g_{1} = \frac{1}{8}.$$
(2.8)

同样,方程组(2.7),=0 的相应函数与 g̃₁ 为

$$\tilde{F}_2 = \left(\frac{1}{\sqrt{\varepsilon}} - 1\right)x^2 + y^2, \qquad \tilde{F}_3 = -\frac{1}{3}\left(\frac{1}{\sqrt{\varepsilon}} - 3\right)x^3 + \frac{3\varepsilon - \sqrt{\varepsilon}}{3(1 - \sqrt{\varepsilon})}y^3,$$

$$\tilde{F}_{4} = -\frac{1}{4}x^{4} - \frac{\sqrt{\varepsilon}}{4(1-\sqrt{\varepsilon})}x^{3}y + \frac{\varepsilon}{4(1-\sqrt{\varepsilon})^{2}}xy^{3} + \frac{\varepsilon(2-5\sqrt{\varepsilon}+\varepsilon)}{4(1-\sqrt{\varepsilon})^{3}}y^{4},$$

$$\tilde{g}_{1} = \frac{\varepsilon\sqrt{\varepsilon}}{8(1-\sqrt{\varepsilon})^{2}}.$$
(2.9)

用符号 X_2 , X_3 , Y_2 , Y_3 分别表示方程组 (2.6) 与 (2.7) 右端的二次与三次齐式, 在圆周 $x^2 + y^2 = \rho^2 (\rho > 0)$ 上,按不等式

$$\left|\sum_{i+j=k} a_{ij} x^i y^j\right| \leqslant \rho^k \sum |a_{ij}|$$

估值,对于方程组(2.6),得不等式

$$|X_{2}| = 0, \quad |X_{3}| \leqslant \varepsilon \rho^{2}, \quad |Y_{2}| \leqslant 5\rho^{2}, \quad |Y_{3}| \leqslant 2\rho^{3},$$

$$|F_{2}| \leqslant 2\rho^{2}, \quad |F_{3}| \leqslant 2\rho^{3}, \quad |F_{4}| \leqslant \rho^{4}, \quad \left|\frac{\partial F_{2}}{\partial x}\right| \leqslant 2\rho, \quad \left|\frac{\partial F_{2}}{\partial y}\right| \leqslant \rho,$$

$$\left|\frac{\partial F_{3}}{\partial x}\right| \leqslant 3\rho^{2}, \quad \left|\frac{\partial F_{3}}{\partial y}\right| \leqslant \rho^{2}, \quad \left|\frac{\partial F_{4}}{\partial x}\right| \leqslant 2\rho^{3},$$

$$\left|\frac{\partial F_{4}}{\partial y}\right| \leqslant 2\rho^{3}.$$
(2.10)

对于方程组(2.7)得不等式

$$|X_{2}| \leqslant 3\sqrt{\varepsilon} \rho^{2}, \quad |X_{3}| \leqslant \varepsilon \rho^{3}, \quad |Y_{2}| \leqslant \left(\frac{1}{\sqrt{\varepsilon}} + 5\right) \rho^{2},$$

$$|Y_{3}| \leqslant 2\rho^{3}, \quad |\tilde{F}_{2}| \leqslant \frac{1}{\sqrt{\varepsilon}} \rho^{2}, \quad |\tilde{F}_{3}| \leqslant \frac{1}{3\sqrt{\varepsilon}} \rho^{3}, \quad |\tilde{F}_{4}| \leqslant \frac{1}{2} \rho^{4},$$

$$\left|\frac{\partial \tilde{F}_{2}}{\partial x}\right| \leqslant \frac{2}{\sqrt{\varepsilon}} \rho, \quad \left|\frac{\partial \tilde{F}_{2}}{\partial y}\right| \leqslant 2\rho, \quad \left|\frac{\partial \tilde{F}_{3}}{\partial x}\right| \leqslant \frac{1}{\sqrt{\varepsilon}} \rho^{2}, \quad \left|\frac{\partial \tilde{F}_{3}}{\partial y}\right| \leqslant 2\sqrt{\varepsilon} \rho^{2},$$

$$\left|\frac{\partial \tilde{F}_{4}}{\partial x}\right| \leqslant 2\rho^{3}, \quad \left|\frac{\partial \tilde{F}_{4}}{\partial y}\right| \leqslant \sqrt{\varepsilon} \rho^{3}.$$

$$(2.11)$$

根据引理 4, 沿着方程组 (2.6) 1=0 的轨线

$$\frac{dF}{d\tau}\Big|_{(2.6)_{\lambda=0}} = -\frac{1}{8} (x^2 + y^2)^2 + \text{H.o.t.} = \frac{-1}{8} \rho^4 + \text{H.o.t.},$$

其中

$$|H. o. t| = \left| \frac{\partial F_3}{\partial x} X_3 + \frac{\partial F_3}{\partial y} Y_3 + \frac{\partial F_4}{\partial x} X_2 + \frac{\partial F_4}{\partial y} Y_2 + \frac{\partial F_4}{\partial x} X_3 + \frac{\partial F_4}{\partial y} Y_3 \right| \le 13\rho^5 + 5\rho^6.$$

于是

$$\left| \frac{dF}{d\tau} \right|_{(2.6)_{\lambda=0}} \leqslant -\frac{1}{16} \rho^4 + \rho^4 \left(5\rho^2 + 13\rho - \frac{1}{16} \right).$$

若取 $0 < \rho \le 4.79 \times 10^{-3}$,则上式右边第二项小于零,故

$$\left. \frac{dF}{d\tau} \right|_{(2.6)_{L=0}} < -\frac{1}{16} \rho^4. \tag{2.12}$$

同样由引理 4,对于方程组 (2.7), 有全导数

$$\frac{d\tilde{F}}{dt}\Big|_{(2.7)_{\lambda=0}} = -\frac{\varepsilon\sqrt{\varepsilon}}{8(1-\sqrt{\varepsilon})^2}(x^2+y^2)^2 + \text{H. o. t} \leqslant -\frac{1}{8}\varepsilon\sqrt{\varepsilon}\rho^4 + \text{H. o. t},$$

其中

$$|\text{H. o. t}| = \left| \frac{\partial \tilde{F}_3}{\partial r} X_3 + \dots + \frac{\partial \tilde{F}_4}{\partial y} Y_3 \right| \leq 2\rho^5 + 3\sqrt{\varepsilon} \rho^6,$$

故

$$\left. \frac{d\tilde{F}}{dt} \right|_{(2.7)_{1=0}} < -\frac{1}{16} \varepsilon \sqrt{\varepsilon} \rho^4 + \rho^4 \left(3\sqrt{\varepsilon} \rho^2 + 2\rho - \frac{1}{16} \varepsilon \sqrt{\varepsilon} \right).$$

只要 $0 < \rho < 3.125 \times 10^{-18}$, 上式右边第二项就小于零,从而

$$\left. \frac{d\tilde{F}}{dt} \right|_{(2.7)_{L=0}} < -\frac{1}{16} \varepsilon \sqrt{\frac{\varepsilon}{\varepsilon}} \rho^4. \tag{2.13}$$

引理 5. 当 $0 < \lambda < \lambda_0 = 3.125 \times 10^{-6}$ 时,在 $(E)_a$ 的奇点 A = B 的小邻域内,分别恰有一个不稳定极限环 C_1 .

证. 考察奇点 B 的小邻域,兹对方程组(2.6),证明曲线 $F(x,y)=10^{-8}$ 在圆 $\rho=\rho_0=10^{-3}$ 内存在闭分支,方程组(2.6)的方向场横截该闭分支,因而构成 Poincaré-Bendixson 环域的外境界线.

事实上,根据(2.8)与(2.10)式,

$$F(x,y)|_{\rho=10^{-3}} \geqslant \rho^2 \left(\frac{1}{2} - 2\rho - \rho^2\right) \geqslant 10^{-7},$$

故曲线 $F(x,y) = 10^{-8}$ 在圆 $\rho = \rho_1 = 10^{-3}$ 内存在闭分支,取其中的一支,记为 L_1 . 现证对于方程组 (2.6),当 $0 < \lambda < \lambda_0$ 时, L_1 是无切环线,由于

$$\rho^{2}\left(\frac{1}{2}-2\rho-\rho^{2}\right) \leqslant F(x,y) = 10^{-8} \leqslant \rho^{2}(2-2\rho+\rho^{2}),$$

故在闭曲线 L_1 上满足 $10^{-5} < \rho < 10^{-3}$. 在 L_1 内再取圆 $\rho = \rho_2 = 10^{-5}$,则在圆环域 $\rho_2 < \rho < \rho_1$ 内

$$\frac{dF}{dT}\Big|_{(2.6)_{1-0}} < -\frac{1}{16}\rho_2^4 = -6.25 \times 10^{-22},$$

因为

$$\frac{dF}{d\tau}\Big|_{(2.6)_{\lambda=0}} = \frac{dF}{d\tau}\Big|_{(2.6)_{\lambda=0}} + \left[\frac{dF}{d\tau}\Big|_{(2.6)_{\lambda=0}} - \frac{dF}{d\tau}\Big|_{(2.6)_{\lambda=0}}\right],$$

在上述圆环内

$$\left| \frac{dF}{d\tau} \right|_{(2.6)_{\lambda \neq 0}} - \frac{dF}{d\tau} \Big|_{(2.6)_{\lambda = 0}} \right| \leq \left| \frac{\partial F}{\partial y} \right| |\lambda| |y| \leq \left| \frac{\partial F}{\partial y} \right| |\lambda| \rho$$

$$\leq \rho^2 (1 + \rho + 2\rho^2) |\lambda| \leq (2 \times 10^{-6}) |\lambda|.$$

只要 $(2 \times 10^{-6})|\lambda| \le 6.25 \times 10^{-22}$,即 $0 < \lambda < \lambda_0 = 3.125 \times 10^{-16}$,则有 $\frac{dF}{d\tau}\Big|_{(2.6)_{\lambda}} < 0$.换言之,方程组 (2.6) 的轨线当 τ 增加时,由外向内穿过闭曲线 L_1 . 即 L_1 对方程组 $(2.6)_{\lambda}$ 无切。又因为当 $\lambda > 0$ 时, L_1 内只有不稳定焦点 (0,0),日 $\rho_1 \to 0$ 时, $\lambda_2 \to 0$ 数 0 < 1 < 1 时

在原点邻域存在方程组(2.6)的稳定极限环.

将 τ 还原为 ι ,在上述条件下,存在围绕(E) α 的奇点(1,0)的不稳定极限环.由于方程组(2.6)变 τ 为 ι 后所得方程的导算子矩阵为:

$$A(\lambda) = \begin{pmatrix} 0 & 1 \\ -2 & -\lambda \end{pmatrix} = \begin{pmatrix} 0 & 1 \\ -2 & 0 \end{pmatrix} + \lambda \begin{pmatrix} 0 & 0 \\ 0 & -1 \end{pmatrix} = A(0) + \lambda B(\lambda). \tag{2.14}$$

又 tr A(0) = 0, det A(0) = 2 > 0, tr $B(0) \ge 0$, 引用文献 [9]的 Hopf 分支定理可得 C_1 的唯一性结论. 再根据 $(E)_a$ 所定义的方向场的对称性,对于奇点 A 引理 5 的结论也成立.

引理 6. 当 $0 < \lambda < 10^{-95}$ 时,在 (E)' 的奇点 D = D' 邻域内分别存在稳定极限环 C_1 . 证. 类似于引理 5 的证明,考察方程组(2.7)。由(2.9)与(2.11)式得

$$|\tilde{F}(x,y)|_{\rho=10^{-18}} > \rho^2 \left[\left(\frac{1}{\sqrt{\varepsilon}} - 2 \right) - \frac{1}{3\sqrt{\varepsilon}} \rho - \frac{1}{2} \rho^2 \right] > 10^{-29}.$$

曲线 $\tilde{F}(x,y) = 10^{-29}$ 在圆 $\rho = \tilde{\rho}_1 = 10^{-18}$ 内有闭分支,取其一支作闭曲线 \tilde{L}_1 ,又因

$$\rho^{2}\left[\left(\frac{1}{\sqrt{\varepsilon}}-2\right)-\frac{1}{3\sqrt{\varepsilon}}\rho-\frac{1}{2}\rho^{2}\right]< F(x,y)=10^{-29}<\rho^{2}\left(\frac{1}{\sqrt{\varepsilon}}+\frac{1}{3\sqrt{\varepsilon}}\rho+\frac{1}{2}\rho^{2}\right),$$

故在 \tilde{L}_1 上满足 $10^{-19}<\rho<10^{-18}$. 再在 \tilde{L}_1 内取圆 $\rho=\tilde{\rho}_2=10^{-19}$,在圆环 $\tilde{\rho}_2<\rho<\tilde{\rho}_1$ 之内有

$$\left. \frac{d\tilde{F}}{dt} \right|_{(2.7)_{\lambda=0}} \leqslant -\frac{1}{16} \varepsilon \sqrt{\varepsilon} \, \hat{\rho}_2^4 = -6.25 \times 10^{-102} < -10^{-102}$$

由于方程(2.7)的奇点(一 54,0)满足三次代数方程

$$\sqrt{\varepsilon} (-\xi_4)^3 + \xi_4^2 - \sqrt{\varepsilon} (-\xi_4) - (1-\lambda) = 0,$$

即

$$(\xi_4^2 - 1)(1 - \sqrt{\varepsilon}\,\xi_4) + \lambda = 0. \tag{2.15}$$

又方程 (2.15) 的根 ξ_4 连续地依赖于参数 λ ,当 λ 较小时,可证 $\xi_4 \approx \sqrt{1-\lambda} \approx 1-\frac{1}{2}\lambda$, 若 $\lambda = 10^{-95}$, $1-\xi_4 \approx \frac{1}{2}\lambda < 10^{-95}$. 故 $(E)_a$ 的奇点 $D\left(-\xi_4, \frac{1}{\sqrt{\epsilon}}\right)$ 位于 (2.7) $\lambda = 0$ 的奇点 $\left(-1, \frac{1}{\sqrt{\epsilon}}\right)$ 的小邻域内,包含在小圆 $\rho = \tilde{\rho}_2 = 10^{-19}$ 的内部. 因为

$$\frac{d\tilde{F}}{dt}\Big|_{(2.7)_{\lambda}} = \frac{d\tilde{F}}{dt}\Big|_{(2.7)_{\lambda=0}} + \left[\frac{d\tilde{F}}{dt}\Big|_{(2.7)_{\lambda=0}} - \frac{d\tilde{F}}{dt}\Big|_{(2.7)_{\lambda=0}}\right].$$

注意到 $\lambda \leq 10^{-95}$, $\sqrt{\varepsilon} = 10^{-8}$, $\tilde{\rho}_1 = 10^{-18}$, 在圆环域 $\tilde{\rho}_2 < \rho < \tilde{\rho}_1$ 内 $\left| \frac{d\tilde{F}}{dt} \right|_{(2.7)_{\lambda=0}} - \frac{d\tilde{F}}{dt} \left|_{(2.7)_{\lambda=0}} \right| = \left| \frac{\partial \tilde{F}}{\partial y} \left(-\lambda y - \frac{\lambda}{\sqrt{\varepsilon}} \right) \right| \leq \left| \frac{\partial \tilde{F}}{\partial y} \left(|\lambda y| + \left| \frac{\lambda}{\sqrt{\varepsilon}} \right| \right)$ $\leq \left(2\rho + \frac{2}{3} \sqrt{\varepsilon} \rho^2 + \sqrt{\varepsilon} \rho^3 \right) \left(\frac{\lambda}{\sqrt{\varepsilon}} + \lambda \rho \right) < 10^{-104},$

故 $\frac{d\tilde{F}}{dt}\Big|_{(2.7)_{\lambda}} < 0$. 即方程组 (2.7) 的轨线当 t 增加时从外向内穿过 \tilde{L}_1 ,又因 $\lambda > 0$ 时,方程组 (2.7) 的奇点 D是不稳定焦点,故根据广义环域定理,在奇点 D 邻域存在方程组 (2.7) λ 的稳定极限环. 同样由方向场的对称性,引理 δ 的结论对奇点 D' 也成立.

综上所述,根据 Андронов 等^[10]的结果,由引理 2 可知,当包围奇点 A, B, D 与 D' 的 C_1 出现时, C_3 仍然存在,于是根据引理 5, 6 得到本文的主要结果

定理 6. 当 $0 < \lambda < 10^{-95}$, $\varepsilon = 10^{-16}$ 时,系统 (*E*)_α 存在结构为 (1)+(1)+(1)→((1)+(1)) 的极限环分布(如图 1 所示).

作者对秦元勋教授的宅贵意见表示衷心感谢.

参考文献

- [1] Сибирский, К. С., Диффир. урав., 1 (1965), 1: 53—66.
- [2] 秦元勋、蒲富全,数学学报,9(1959),2:213-226。
- [3] 史松龄,数学学报,18(1975),4;300-304.
- [4] 秦元勋,微分方程所定义的积分曲线(上、下册),科学出版社,1959.
- [5] 叶彦谦,极限环论,上海科技出版社,1965。
- [6] 张芷芬,常微分方程定性理论,北京大学出版,1979.
- [7] 李继彬,东北师大学报,2(1981),15-27.
- [8] 王现,数学年刊,6(1983),723-730.
- [9] 张锦炎,常微分方程几何理论与分支问题,北京大学出版,1981.
- [10] Андронов, А. А. и Др., Теория бифуркаций динамических систем наплоскости, М., «Наука», 1967.